

PREMIER PROBLEME:

Réfrigérateur domestique (d'après laque PT 2019)

A) Modélisation d'une machine réfrigérante diatherme

$$1) * Q_c < 0, Q_f > 0, W > 0$$

* $Q_f > 0$: c'est le but d'un réfrigérateur!

Le fluide prend de l'énergie à la source froide.

* $W > 0$: c'est le coût! Le fluide doit recevoir un travail.

* $Q_c < 0$: le fluide cède de l'énergie à la source chaude (en: air de la pièce via un échangeur thermique derrière le réfrigérateur).

$$2) * e_f = \frac{\text{bont}}{\text{coût}} \Rightarrow e_f = \frac{Q_f}{W}$$

$$* \Delta U = Q_f + Q_c + W = 0 \quad (1)$$

\uparrow cycle et U fonction d'état
 \downarrow principe

$$* \Delta S = \frac{Q_f}{T_f} + \frac{Q_c}{T_c} + S_{\text{cuvée}} = 0 \quad (2)$$

\uparrow cycle et S fonction d'état
 \downarrow principe

$$\Rightarrow \frac{Q_f}{T_f} + \frac{Q_c}{T_c} \leq 0 \quad (2)$$

$$* e_f = \frac{Q_f}{W} = \frac{Q_f}{-\dot{Q}_f - \dot{Q}_c} = \frac{-1}{1 + \frac{Q_c}{Q_f}}$$

$$* (2): \frac{Q_c}{T_c} \leq -\frac{Q_f}{T_f} \Rightarrow \frac{Q_c}{Q_f} \leq -\frac{T_c}{T_f}$$

$$\Rightarrow 1 + \frac{Q_c}{Q_f} \leq 1 - \frac{T_c}{T_f}$$

$$\Rightarrow \frac{1}{1 + \frac{Q_c}{Q_f}} \geq \frac{1}{1 - \frac{T_c}{T_f}}$$

$$\Rightarrow \frac{-1}{1 + \frac{Q_c}{Q_f}} \leq \frac{-1}{1 - \frac{T_c}{T_f}} = \frac{-T_f}{T_f - T_c} = \frac{T_f}{T_c - T_f}$$

$$\Rightarrow e_f^{\text{max}} = \frac{T_f}{T_c - T_f}$$

B) Etude d'un cycle réfrigérant à compression de vapeur.

3) * point 1: entre l'évaporateur et le compresseur etc.

* $Q_c < 0$: le fluide cède de l'énergie à la source chaude (réfrigérateur).

Dans un condenseur: refroidissement et liquéfaction isobares \Rightarrow le fluide cède de l'énergie à l'extérieur.

\rightarrow le condenseur est au contact de la source chaude, et le fluide cède de l'énergie à la source chaude, d'où le sens des flèches.

* $Q_f > 0$: le fluide reçoit de l'énergie de la source froide (réfrigérateur).

Dans un évaporateur: vaporisation et surchauffe isobares \Rightarrow le fluide reçoit de l'énergie de l'extérieur.

\rightarrow l'évaporateur est au contact de la source froide, et le fluide reçoit de l'énergie de la source froide, d'où le sens des flèches.

4) * en 4: vapeur saturante à $T_4 = 0^\circ\text{C} \Rightarrow P = 2,3 \text{ bar}$

* (4 \rightarrow 1): isobare $P = 2,3 \text{ bar}$

* (1): isobare 2,3 bar \wedge isotherme 10°C .

* (1 \rightarrow 2): isentropique (adiabatique + reversible)

* (2) : isentropique Δ_1 et isobare 10 bar

(car $2 \rightarrow 3$: liquéfaction isobare à 40°C)

* (2 \rightarrow 3) : isobare 10 bar

* (3) : isobare 10 bar et isotherme 30°C

* (3 \rightarrow 4) : isenthalpe

* (4) : isenthalpe h_3 et isobare 2,9 bar

Rq: * diagramme (P, h): isenthalpe \approx isotherme

dans le domaine du liquide car $dh \approx c dT$

\Rightarrow isotherme = verticale, d'où le placement du point (3) (/ isotherme 30°C = verticale)

* dans le diagramme (T, s), l'isobare 10 bar est très proche de la courbe de saturation dans le domaine du liquide.

5) lecture graphique \Rightarrow document annexe.

6) * Dans l'évaporateur, le fluide reçoit de l'énergie de la part de la source froide ($Q_f < 0$)

$$\Rightarrow T_{\text{evap}} \leq T_f \quad (\text{la chaleur va du chaud vers le froid})$$

* Dans le condenseur, le fluide cède de l'énergie à la source chaude ($Q_c > 0$)

$$\Rightarrow T_{\text{cond}} \geq T_c$$

7) On suppose le fluide parfait (absence de pertes de charge).

8) * diagramme (P, h):

GP \Rightarrow 2^{nde} loi de Joule $\Rightarrow dh = c dT$

\Rightarrow isothermes = isenthalpes = verticales

Or ce n'est pas le cas !



* diagramme (T, s): isothermes = horizontales

/ isenthalpes + horizontales ($\uparrow \downarrow h=c^{\frac{T}{T}}$)

\Rightarrow la vapeur sèche ne peut pas être assimilée à un GP entre 1 et 2.

$$3) h_2 - h_1 = \frac{h_{20} - h_1}{\gamma} = \frac{432 - 407}{0,75} = \frac{25}{0,75}$$

$$\Rightarrow h_2 - h_1 = 33 \text{ kJ/kg}^{-1}$$

$$\Rightarrow h_2 = 33 + 407 = 440 \text{ kJ/kg}^{-1}$$

$$2) h_2 = 440 \text{ kJ/kg}^{-1} \text{ et isobare 10 bar}$$

10) lecture graphique: $T_2 \approx 58^\circ\text{C}$

11) cf annexe: 2) $h_2 = 440 \text{ kJ/kg}^{-1}$ et isobare 10 bar

12) * 2nd principe de la thermodynamique pour les systèmes ouverts pour le fluide allant de 1 à 2: $\Delta S = S_{20} - S_1 = \Delta_{\text{adh}} + \Delta_{\text{rév}}$

(adiabatique) (réversible)

$$\Rightarrow S_{20} = S_1$$

$$\star \text{idem de 1 à 2: } \Delta_2 - \Delta_1 = \Delta_{\text{adh}} + \Delta_{\text{rév}}$$

↑
(adiabatique) (réversible)

$$\Rightarrow S_2 > S_1$$

$$\Rightarrow \Delta_2 > \Delta_{20}$$

13) Entre l'entrée et la sortie d'une machine:

$$\Delta h + \Delta e_c + \Delta e_p = w_i + g$$

$$\mathcal{D}_m (\Delta h + \Delta e_c + \Delta e_p) = P_i + P_{th}$$

$\Delta h = h_0 - h_e$ = variation d'enthalpie massique

$\Delta e_c = e_{c_0} - e_{c_e}$ = " d'énergie cinétique "

$\Delta e_p = e_{p_0} - e_{p_e}$ = " " potentielle "

w_i = travail indiqué massique / P_i : puissance indiquée

g = chaleur reçue par unité de masse / P_{th} : puissance thermique

14) * chaleur nécessaire pour vaporiser 1kg de fluide R134a à 0°C = 396 - 200
 lecture graphique
 $\approx 200 \text{ kJ/kg}^{-1}$

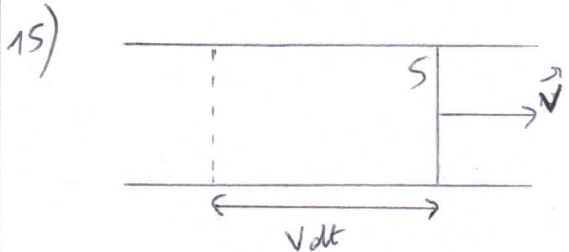
* $\Delta_{\text{ep}} = g \Delta z$ comparable pour $\Delta z = \frac{\Delta h}{g}$

$\Delta z = \frac{200 \cdot 10^3}{10} \approx 20 \text{ km} !!$ ce qui est énorme devant la hauteur d'un réfrigérateur ($\Delta z \approx 1-2 \text{ m}$)

$\Rightarrow \Delta_{\text{ep}} \ll \Delta h$

($\Delta_{\text{ep}} = g \Delta z \approx 10 \times 1 = 10 \text{ J/kg}^{-1}$
 $/ \Delta h = 200 \cdot 10^3 \text{ J/kg}^{-1}$)

$\Rightarrow \frac{\Delta_{\text{ep}}}{\Delta h} \approx 0,01\% \ll 1$



On exprime de 2 manières différentes la masse dm traversant S pendant dt :

* $dm = D dt$

* cette masse se trouve dans le cylindre de section S de longueur Vdt

$$\Rightarrow dm = \mu (S V dt) = \frac{S V dt}{n}$$

masse volumique ↑ volume

$$\Rightarrow D = \frac{S V}{n}$$

16) Le volume massique est maximal au point 1.

En effet, au point 1, on est dans le domaine de la vapeur sèche (masse volumique + faible que pour le liquide pour la même pression), et on est en amont du compresseur

$$\Rightarrow n_1 > n_2 \text{ car } P_2 = 10 \text{ bar} \gg P_1 = 2,9 \text{ bar}$$

alors que $T_2 = 58 + 273 = 331 \text{ K}$

$\approx T_1 = 10 + 273 = 283 \text{ K}$

et si GP : $P_n = n T \approx c^{\frac{n}{2}}$

\Rightarrow si $P \nearrow$, $n \rightarrow$

$$17) V_{\text{max}} = \frac{D n_{\text{max}}}{S} = \frac{1 \cdot 10^{-2} \times 7 \cdot 10^{-2}}{1 \cdot 10^{-4}}$$

$V_{\text{max}} = 7 \text{ m.s}^{-1}$

$$18) \Delta e_{c_{\text{max}}} = \frac{V_{\text{max}}^2}{2} - 0 = \frac{7^2}{2} = 25 \text{ J/kg}^{-1}$$

$\ll \Delta h \approx 200 \text{ kJ/kg}^{-1}$

$\frac{\Delta e_c}{\Delta h} \approx 0,01\% \ll 1$

19) 1^{er} principe : $\Delta h + \Delta f_c + \Delta_{\text{ep}} = n_i + q$
 néglige f_c

* $e_f = \frac{\text{out}}{\text{out}} = \frac{\text{prendre de l'énergie à la source froide}}{\text{fournir de l'énergie au compresseur}}$
 $= \frac{q_{41}}{n_{i12}}$

* De 4 à 1 : $h_1 - h_4 = n_{i1} + q_{41}$
 pas de parties mobiles dans l'évaporateur

* De 1 à 2 : $h_2 - h_1 = n_{i12} + q_{12}$ compression adiabatique

$$\Rightarrow e_f = \frac{h_1 - h_4}{h_2 - h_1}$$

20) $e_f = \frac{407 - 240}{440 - 407} = \frac{167}{33} = 5,1 \Rightarrow e_f \approx 5,1$

$$21) \frac{P_f}{\theta} = \mathcal{D}_{q_{41}} = \mathcal{D}(h_1 - h_4) = 1 \cdot 10^2 (407 - 240)$$

$$\frac{P_f}{\theta} = 1,7 \text{ kW}$$

$$P = \mathcal{D}_{w_{12}} = \mathcal{D}(h_2 - h_1) = 1 \cdot 10^2 (440 - 407)$$

$$P = 0,33 \text{ kW}$$

22) La vapeur est surchauffée après son évaporation afin d'éviter, dans le compresseur, de comprimer de la vapeur saturante pour éventer :

- un compte de liquide

- corrosion.

De plus, la surchauffe déplace le point ① vers la droite $\Rightarrow h_1 \nearrow \Rightarrow q_{41} = h_1 - h_4 \nearrow$

→ le fluide prend davantage d'énergie à la source froide

$$w_{12} = c \frac{t_2}{T} \Rightarrow \underline{e_f} \nearrow$$

23) Le liquide est sous-refroidi après liquéfaction pour :

- éviter d'envoyer un fluide ayant des bulles dans le détendeur

- augmenter q_{41} (h_4 diminue si il y a du sous-refroidissement), et donc e_f

On se limite à un sous-refroidissement du liquide jusqu'à 30°C pour limiter l'encombrement. Si on voulait diminuer T jusqu'à 20°C (température de la pièce, source chaude), il faudrait que l'échangeur (condenseur) soit plus grand.

c) Association réfrigérateur - congélateur:

24) (1') : isotherme 0°C et isobare correspondant à l'isotherme -20°C sous la combe de saturation \Rightarrow isobare $\approx 1,3$ bar
(Δ échelle log)

$$\star \text{ on lit } h_{41} = 402 \text{ kJ.kg}^{-1}$$

$$\star \mathcal{D}(h_{41} - h_4) = P_{\theta_{44'}} + \cancel{P_{i_{44''}}} \text{ pas de parties moléculaires}$$

$$\mathcal{D}(h_1 - h_{4''}) = P_{\theta_{44''}} + \cancel{P_{i_{4''1}}} \text{ moléculaires}$$

$$\text{or } P_{\theta_{44'}} = P_{\theta_{4''1}} \text{ et } h_{4'} = h_{4''}$$

détente isenthalpique

$$\Rightarrow h_1 - h_4 = h_1 - h_{4'} \Rightarrow h_{4'} = \frac{h_4 + h_1}{2}$$

$$h_{4'} = h_{4''} = \frac{240 + 402}{2} = \frac{642}{2} = 321 \text{ kJ.kg}^{-1}$$

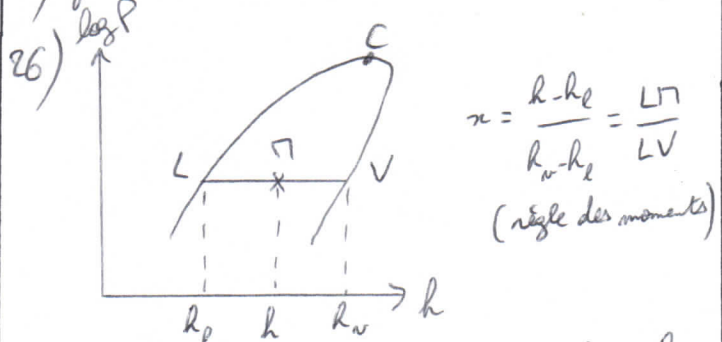
$$h_{41} = h_{4''} = 321 \text{ kJ.kg}^{-1}$$

4': isobare 2,3 bar, isotherme 0°C

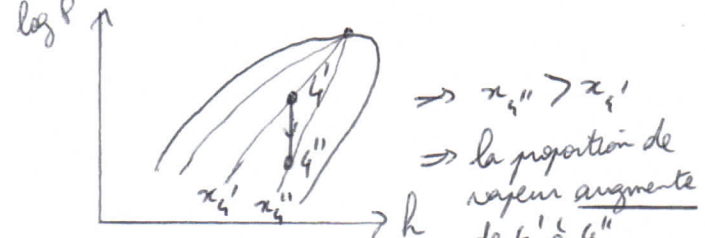
4'': isobare 1,3 bar, isotherme -20°C

25) cf amène en courbe en verte.

log⁸



Vue l'allure de la combé de saturation, les combes isothermes ont l'allure suivante :



$$27) \epsilon_f = \frac{\beta_{\text{th}44'} + \beta_{\text{th}4''1'}}{\beta_{1'2'}} = \frac{\mathcal{D}_{944'} + \mathcal{D}_{94''1'}}{\mathcal{D}_{91'2'}}$$

D'après des 1^{er} principes pour les systèmes ouverts:

$$\epsilon_f = \frac{h_{41}' - h_4 + h_{11} - h_{4''}}{h_{21} - h_{11}} \quad (h_{4''} = h_{41})$$

$$\epsilon_f = \frac{h_{11} - h_4}{h_{21} - h_{11}} = \frac{402 - 240}{465 - 402} = \frac{162}{63}$$

$$\boxed{\epsilon_f = \frac{h_{11} - h_4}{h_{21} - h_{11}} = 2,6}$$

D) Utilisation d'un réfrigérateur:

$$28) * T_c - T > 0$$

↑
chaud ↑ froid

* $\beta_{\text{th}} > 0$ car β_{th} est reçue par l'intérieur du réfrigérateur, or les transferts thermiques vont effectivement du chaud vers le froid.

$$\Rightarrow \lambda > 0$$

29) système: intérieur du réfrigérateur
bilan d'énergie entre t et t+dt:
(1^{er} principe)

$$dU = \delta Q + \delta W = \delta Q = \beta_{\text{th}} dt$$

- Perte dV
isochore

$$\lambda(T_c - T) dt$$

$$\text{or } dU = C_V dT \approx C_p dT = C dT$$

(Rq: il aurait été plus malin que l'énoncé fournit C_V et non C_p , car à l'évidence on travaille à V constant...)

$$\Rightarrow C dT = \lambda (T_c - T) dt$$

$$\Rightarrow \frac{dT}{dt} + \frac{1}{C} T = \frac{1}{C} T_c$$

$$30) \Rightarrow T = K \exp\left(-\frac{1}{C} t\right) + T_c$$

à t=0, T=T_f

$$\Rightarrow T(t) = (T_f - T_c) \exp\left(-\frac{1}{C} t\right) + T_c$$

$$31) T(t=0) = T_f \Rightarrow T_f = 277 \text{ K} = 4^\circ\text{C}$$

$$T(t \rightarrow \infty) = T_c \Rightarrow T_c = 293 \text{ K} = 20^\circ\text{C}$$

asymptote horizontale

Rq: températures cohérentes!

(4°C: intérieur réfrigérateur en fonctionnement)

(20°C: température de la pièce).

$$32) \ln \frac{T - T_c}{T_f - T_c} = -\frac{1}{C} t$$

$$\Rightarrow \text{droite de pente } -\frac{1}{C} = \frac{-5}{52 \text{ h}}$$

$$\Rightarrow \lambda = \frac{5 \times 3 \cdot 10^5}{52} = 2,9 \cdot 10^4 \text{ J.h}^{-1}\text{.K}^{-1}$$

$$\lambda = 2,9 \cdot 10^4 \text{ J.h}^{-1}\text{.K}^{-1} = 8,0 \text{ W.K}^{-1}$$

$$33) \epsilon_f = K \epsilon_f^{\text{max}} = K \frac{T_f}{T_c - T_f} \quad (\text{question 2})$$

$$\epsilon_f = K \frac{T_f}{T_c - T_f} = 0,25 \frac{277}{20 - 4} = 4,3$$

$$\boxed{\epsilon_f = 4,3}$$

$$34) \beta_{\text{th}} = \lambda (T_c - T_f) = 8,0 (20 - 4)$$

$$\boxed{\beta_{\text{th}} = 1,3 \cdot 10^2 \text{ W}}$$

35) Pour compenser les fuites, il faut prélever
à la source froide !

$$\dot{e}_f = \frac{\dot{P}_{th}}{T_c} \Rightarrow T_c = \frac{\dot{P}_{th}}{\dot{e}_f} = \frac{1,3 \cdot 10^2}{4,3}$$

$$\Rightarrow \boxed{T_c = 30 \text{ W}}$$

36) système : intérieur du réfrigérateur
bilan d'énergie entre t et $t+dt$:

$$dU = dQ + dW = dQ = \dot{P}_{th} dt + \dot{P}_{th} dt$$

$\begin{matrix} \text{- } \dot{P}_{ext} dt \\ \text{isochore} \end{matrix}$
 $\begin{matrix} \text{fuites} \\ \text{regue} \\ \text{de la} \\ \text{part} \\ \text{du fluide} \\ \text{frigorigène} \end{matrix}$

$$= C dt$$

$$\Rightarrow C dt = d(T_c - T) dt - \dot{P}_{th} dt$$

$\begin{matrix} \text{regue par le} \\ \text{fluide de la part} \\ \text{de la source froide} \end{matrix}$

$$\begin{aligned} C \frac{dT}{dt} &= d(T_c - T) - \dot{e}_f T_c \\ &= d(T_c - T) - K \dot{e}_f^{\text{max}} T_c \\ &= d(T_c - T) - K \frac{1}{T_c - T} T_c \end{aligned}$$

$$\Rightarrow \frac{dT}{dt} = - \frac{K T_c}{C} \frac{1}{T_c - T} + \frac{1}{C} (T_c - T)$$

$$\Rightarrow \boxed{A = \frac{K T_c}{C}}$$

$$\boxed{B = \frac{1}{C}}$$

37) absence de fuites $\Rightarrow d=0 \Rightarrow B=0$

$$\Rightarrow \frac{dT}{dt} = - \frac{AT}{T_c - T}$$

$$\Rightarrow dT \frac{T_c - T}{T} = - A dt$$

$$\Rightarrow T_c \frac{dT}{T} - dT = - A dt$$

$$\Rightarrow dt = \frac{1}{A} dT - \frac{T_c}{A} \frac{dT}{T}$$

$$\text{On intègre: } (t_f - 0) = \frac{1}{A} (T_f - T_c) - \frac{T_c}{A} \ln \frac{T_f}{T_c}$$

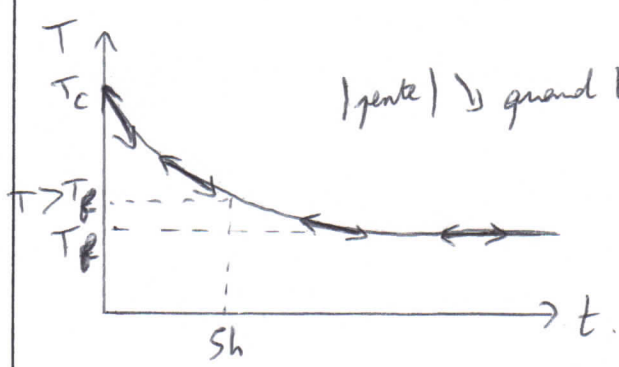
$$\Rightarrow \boxed{t_f = \frac{T_f - T_c}{A} + \frac{T_c}{A} \ln \frac{T_c}{T_f}}$$

38) * Pour $t=5h$, $T=280\text{K} > T_f=277\text{K}$.

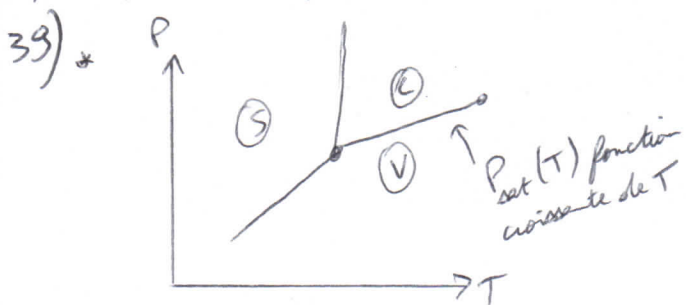
\Rightarrow à cause des pertes thermiques, la température décroît plus doucement, moins rapidement, qu'en négligeant les pertes thermiques $\Rightarrow 0\text{K}$.

* au début: T proche de T_c , les pertes thermiques sont faibles \Rightarrow la chaleur cédée au fluide frigorigène a surtout pour effet de faire chuter $T \Rightarrow \left| \frac{dT}{dt} \right|$ "grand"

* à la fin: T proche de T_f , les pertes thermiques sont grandes \Rightarrow la chaleur cédée au fluide frigorigène sert surtout à compenser les pertes thermiques $\Rightarrow T$ diminue peu $\Rightarrow \left| \frac{dT}{dt} \right|$ "faible" (l'enthalpie faible).
d'où l'allure de la courbe.



E) Comparaison de fluides frigorigènes :



$P_{\text{sat}}(T)$ fonction croissante de T

\Rightarrow si $T_{\text{evap}} > T_{\text{eb}}$, alors

$$P_{\text{sat}}(T_{\text{evap}}) > P_{\text{sat}}(T_{\text{eb}}) = 1 \text{ bar} \\ (= P_{\text{atom}})$$

* or dans la machine : $P > P_{\text{sat}}(T_{\text{evap}})$

(c'est dans l'évaporateur que la pression est la plus faible au cours du cycle)

* $\Rightarrow P > P_{\text{atom}} = 1 \text{ bar}$

40) production frigorigène volumique

$$= \frac{g_{\text{evap}} \text{ (par unité de masse)}}{\text{volume massique à l'entrée du compresseur}}$$

production frigorigène volumique

$$= \frac{h_{\text{entrée compresseur}} - h_{\text{entrée évaporateur}}}{\text{volume massique à l'entrée du compresseur}}$$

41) On les préfère à l'ammoniac R717

car avec le R717 :

- le COP est le + faible.
- le taux de compression est le + élevé
(cf annexe, critères thermodynamiques, 2))
- la pression de condensation P_{cond} est la + élevée
- T_{man} est la plus grande.

42) Le R134a semble légèrement plus performant (production frigorigène volumique sensiblement supérieure, $P_{\text{sat}}(T_{\text{evap}}) > 1 \text{ bar}$, non inflammable).

Par contre, il contribue grandement à l'effet de serre ($GWP = 1300 / 3$ pour R600a).

L'Union Européenne a depuis quelques années (2014-2015) mis en place un planning allant jusqu'en 2030 qui instane la planification de la diminution progressive de mise sur le marché des fluides à fort GWP.

les Etats-Unis semblent avoir pris du retard, même si des plans commencent à se mettre en place.

ANNEXES à RENDRE avec la COPIE

Figure 1

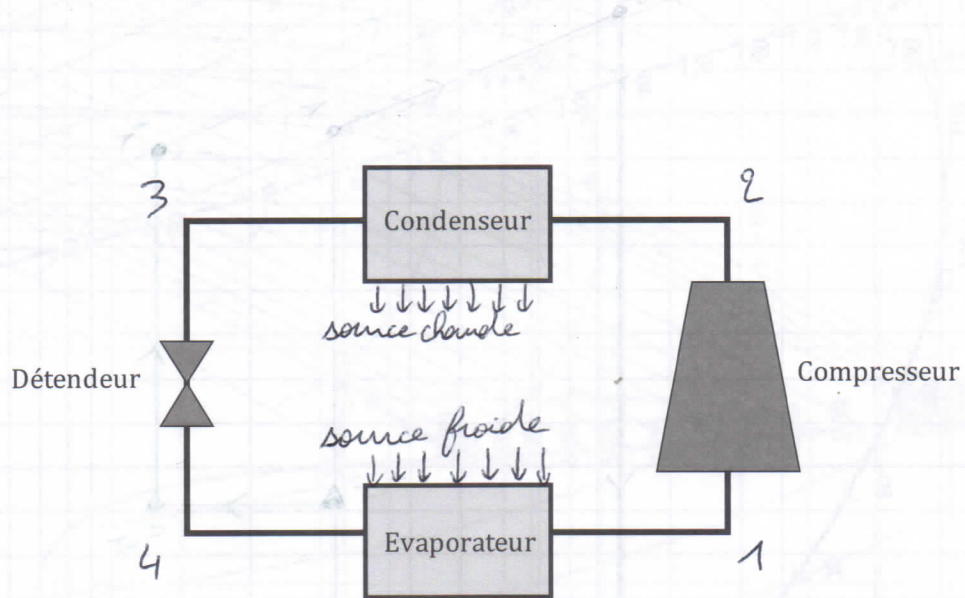


Tableau 3

point	1	2s	2	3	4	1'	2'
$P(\text{bar})$	2,9	10	10	10	2,9	1,3	10
$T(\text{°C})$	10	53	58	30	0	0	80
État du fluide	vapeur sèche	vapeur sèche	vapeur sèche	liquide	vapeur saturante	vapeur sèche	Vapeur sèche
$h(\text{kJ.kg}^{-1})$	407	432	440	≈ 240	≈ 240	402	465

Figure 2a :

La figure complète doit montrer 3 couleurs : une pour le cycle 1, 2s, 3, 4 ; une pour la portion 1, 2 ; une pour le cycle 3, 4, 4', 1, 2'.

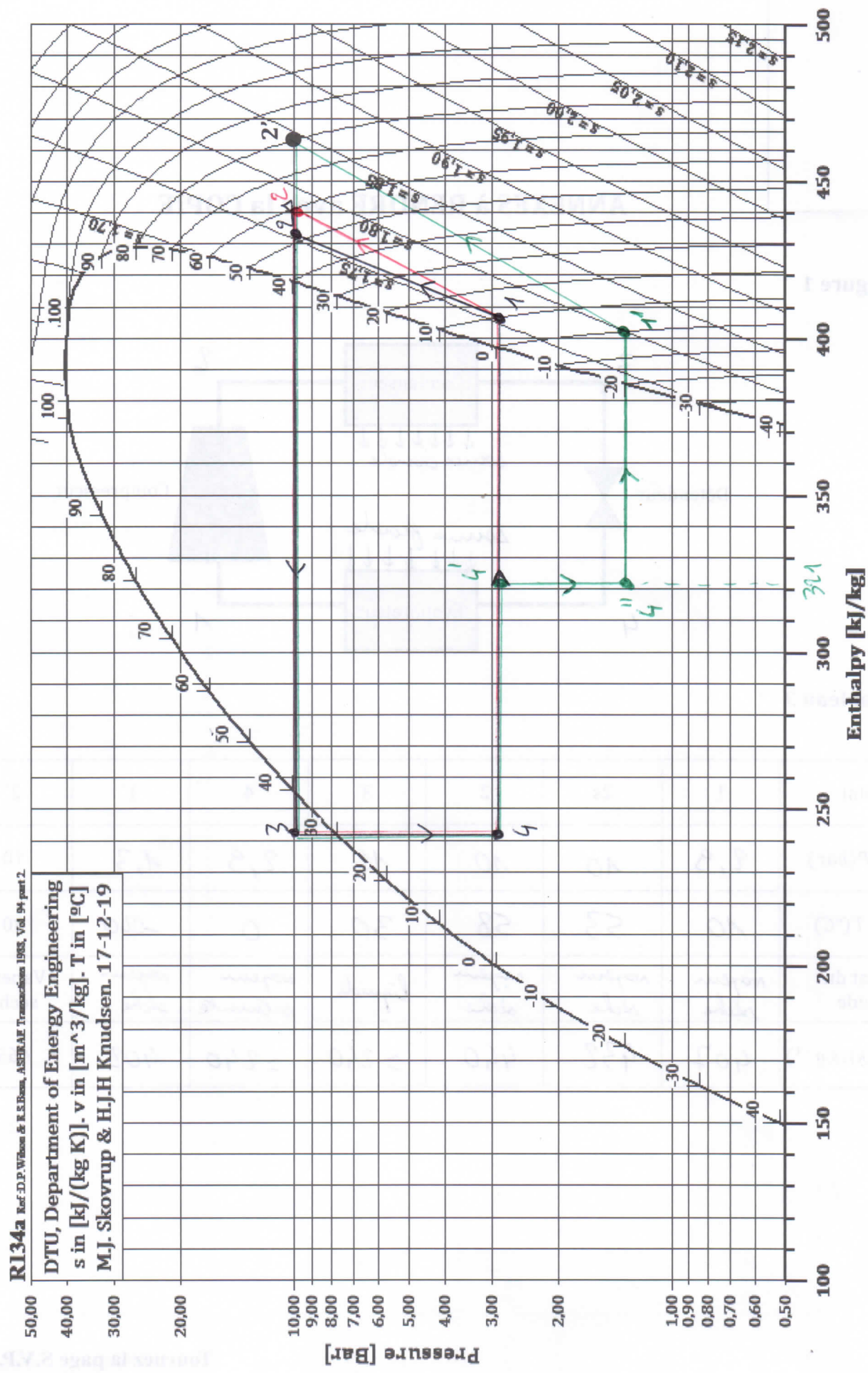
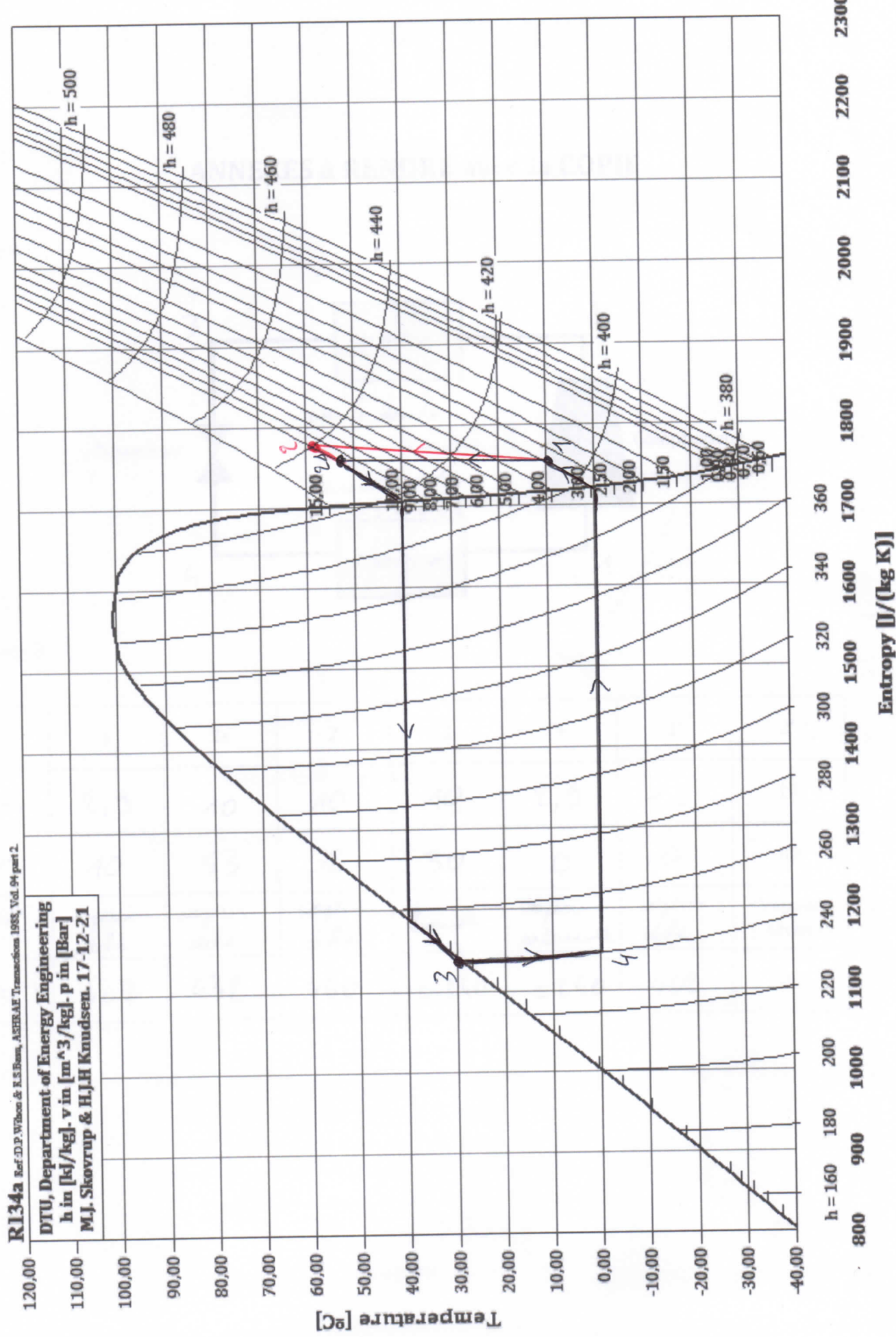


Figure 2b



4)a) En ③, on a uniquement du liquide à $T = 45^\circ\text{C}$

$$\text{et } P = P_{\text{sat}}(45^\circ\text{C}) = 0,0958 \text{ bar}$$

\Rightarrow le liquide est saturant

$$\Rightarrow h_3 = h'(45^\circ\text{C}) = 188,35 \text{ kJ.kg}^{-1}$$

$$4)b) x_3 = \frac{h_3 - h'(45^\circ\text{C})}{h''(45^\circ\text{C}) - h'(45^\circ\text{C})}$$

$$\Rightarrow h_3 = h'(45^\circ\text{C}) + x_3 (h''(45^\circ\text{C}) - h'(45^\circ\text{C}))$$

$$h_3 = 188,35 + 0,100 (2583,3 - 188,35)$$

$$h_3 = 427,8 \text{ kJ.kg}^{-1}$$

5)a) régime permanent \Rightarrow débit en entrée = débit en sortie

$$\Rightarrow \eta_2 + \eta_3 = \eta_4$$

5)b) exéchangeur : 3 entrées et 2 sorties
(2, 3 et 5) (4 et 6).

pas de parties mobiles $\Rightarrow P_i = 0$

échangeur calorifugé $\Rightarrow P_{\text{fl}} = 0$

Bilan enthalpique (1^{er} principe pour les systèmes clos) :

$$\eta_6 h_6 + \eta_4 h_4 - \eta_2 h_2 - \eta_3 h_3 - \eta_5 h_5 = P_i + P_{\text{fl}}$$

avec $\eta_2 = \eta_1$ et $\eta_6 = \eta_5$ (pas de parties mobiles) (calorifugé)

$$\begin{aligned} P_{\text{fl}} & \text{ reçue par circuit de } \xrightarrow{\text{refrigeration}} \eta_5 (h_6 - h_5) = P_{\text{fl}} \\ & \text{ et } \xrightarrow{\text{fournie par }} \eta_6 h_6 - \eta_5 h_5 \\ & \text{ bilan enthalpique entre 5 et 6} \quad \text{enceinte principale calorifugée} \\ & (P_i = 0) \end{aligned}$$

$$P_{\text{fl},56} = \eta_5 (h_6 - h_5) = \eta_2 h_2 + \eta_3 h_3 - \eta_4 h_4$$

$$5)c) \eta_4 = \eta_2 + \eta_3$$

$$\Rightarrow \eta_3 = \frac{\eta_5 (h_6 - h_5) - \eta_2 (h_2 - h_4)}{h_3 - h_4}$$

$$\eta_3 = \frac{28,5 \cdot 10^3 \times 63 - 930 (2079,3 - 188,35)}{427,8 - 188,35}$$

$$\eta_3 = 1,5 \cdot 10^2 \text{ kg.d}^{-1}$$

Troisième partie : Etude de la tour

$$6) h_w = h_w(0^\circ\text{C}) + c_{P_w} t \quad \text{car } dh_w = c_{P_w} dT$$

$$h''(0^\circ\text{C}) = 2501,5 \text{ kJ.kg}^{-1}$$

$$\Rightarrow h_w = A + c_{P_w} t = 2501,5 + 1,86 t \text{ en kJ.kg}^{-1}$$

$$7) h_6 = c_{P_w} t_6 = 1,86 \times 40 = 1,7 \cdot 10^3 \text{ kJ.kg}^{-1}$$

$$h_3 = c_{P_w} t_3 = 1,86 \times 25,2 = 105 \text{ kJ.kg}^{-1}$$

$$h_{27} = c_{P_w} t_7 = 1,86 \times 20 = 37 \text{ kJ.kg}^{-1}$$

$$h_{28} = c_{P_w} t_8 = 1,86 \times 32 = 59 \text{ kJ.kg}^{-1}$$

$$h_{w,8} = A + c_{P_w} t_8 = 2501,5 + 1,86 \times 32 = 2561,5 \text{ kJ.kg}^{-1}$$

8)a) tour de refroidissement : $P_i = 0$ (pas de parties mobiles)

$P_{\text{fl}} = 0$ (transfert thermique négligé à travers les structures de la tour (cf hypothèses))

\Rightarrow bilan enthalpique (plusieurs entrées et plusieurs sorties).

$$\text{entrées: } \eta_6 h_6 + \eta_7 h_{27}$$

$$= \text{sorties: } \eta_3 h_3 + \eta_{air,8} h_{28} + \eta_{air,8} h_{w,8}$$

$$\text{or } \eta_{air,8} = \eta_7 \quad (\text{régime permanent})$$

$$\text{et } \eta_{air,8} = \eta_6 - \eta_3$$

$$\text{on pose } \eta_v = \eta_{air,8} = \eta_6 - \eta_3 \Rightarrow \eta_3 = \eta_6 - \eta_v$$

$$\Rightarrow \eta_6 h_6 + \eta_7 h_{27} = (\eta_6 - \eta_v) h_3 + \eta_7 h_{28} + \eta_v h_{w,8}$$

$$\Rightarrow \eta_v = \frac{\eta_6 (h_6 - h_3) + \eta_7 (h_{27} - h_{28})}{h_{w,8} - h_3} = 554 \text{ kg.d}^{-1}$$

$$\omega = \frac{\eta_v}{\eta_7} = \frac{554}{36 \cdot 10^3} = 1,6 \cdot 10^{-2}$$

$$8)b) * \text{ régime permanent} \Rightarrow \eta_5 = \eta_3 + \eta_{10}$$

* Le travail indiqué massique absorbé par la pompe est négligé (cf hypothèses) $\Rightarrow P_i = 0$ pour la pompe

On suppose la pompe calorifugée $\Rightarrow P_{\text{fl}} = 0$

bilan enthalpique (système à 2 entrées et 1 sortie)

$$\eta_5 h_5 - \eta_3 h_3 - \eta_{10} h_{10} = 0$$

$$\Rightarrow h_{10} = \frac{\eta_s h_s - \eta_g h_g}{\eta_{10}} \quad \text{or} \quad \eta_{10} = \eta_v$$

$$M_S = \eta_g + \eta_{10} \Rightarrow \eta_g = \eta_S - \eta_v$$

$$h_{10} = c_{pe} t_{10} \quad h_s = c_{pe} t_s \quad h_g = c_{pe} t_g$$

$$\Rightarrow t_{10} = \frac{\eta_s t_s + (\eta_v - \eta_s) t_g}{\eta_v} \quad t \text{ en } ^\circ C$$

$$t_{10} = 15^\circ C$$

3)a) équation d'état des gaz parfaits :

$$P_v V = n_v R T_8 \quad \text{or} \quad n_v = \frac{R}{P_v} \frac{T_8}{\text{masse moléculaire}}$$

$$\Rightarrow P_v V = m_v n_v T_8$$

$$\Rightarrow V = \frac{m_v n_v T_8}{P_v}$$

On prend le volume V par unité de temps $\Rightarrow D_{vol}$

$$\xrightarrow[\text{masse } m_v]{\text{ }} \Rightarrow M_v$$

$$\Rightarrow D_{vol} = M_v n_v \frac{T_8}{P_v}$$

(dans le volume, il y a de l'air et de la vapeur d'eau, mélangés).

3)b) équation d'état des GP pour l'air : $P_{air} V = m_a n_a T_8$

$$\Rightarrow D_{vol} = M_{a8} \frac{n_a T_8}{P_{air}}$$

$$\text{avec } \eta_{a8} = \eta_7 \quad \text{et} \quad P_8 = P_{air} + P_v \Rightarrow P_{air} = P_8 - P_v$$

$$\Rightarrow M_v n_v \frac{T_8}{P_v} = \eta_7 \frac{n_a T_8}{P_8 - P_v}$$

$$\Rightarrow P_v \eta_7 n_a = (P_8 - P_v) \eta_v n_v$$

$$P_v = \omega \frac{n_v}{n_a} (P_8 - P_v)$$

$$\Rightarrow P_v = \frac{P_8}{1 + \frac{n_a}{\omega n_v}}$$

$$P_v = 2,5 \cdot 10^{-2} \text{ bar}$$

3)c) $t_8 = 320^\circ C$

$$\ln \frac{P_S}{140974} = - \frac{3988,5}{231,67 + 320} = -14,90$$

$$\Rightarrow P_S = 4,769 \cdot 10^{-2} \text{ bar}$$

$$\psi = \frac{P_v}{P_S} = \frac{2,5}{4,769} = 0,52 = \psi < 1$$

$\Rightarrow P_v < P_S \Rightarrow$ la vapeur est bien sèche à la sortie de la tour de refroidissement.

Quatrième partie : Débit d'air minimal

$$10/a) P_v = 5,169 \cdot 10^{-2} \text{ bar}$$

$$P_8 = 1,0 \text{ bar}$$

$$P_v = \frac{P_8}{1 + \frac{n_a}{\omega n_v}} \Rightarrow \frac{n_a}{\omega n_v} = \frac{P_8}{P_v} - 1$$

$$\omega = \frac{n_a}{n_v} \frac{1}{\frac{P_8}{P_v} - 1} = 3,1 \cdot 10^{-2} = \omega$$

$$10/b) \text{ cf 8)a)}: \omega = \frac{\eta_6 (h_6 - h_g) + (h_{a7} - h_{a8})}{h_{a8} - h_g}$$

$$\Rightarrow \frac{\eta_6}{\eta_7} = \frac{\omega (h_{a8} - h_g) + (h_{a8} - h_{a7})}{h_6 - h_g} = 1,4$$

$$\text{or } \eta_6 = 285 \cdot 10^3 \text{ kg} \cdot \text{s}^{-1}$$

$$\Rightarrow \eta_7 = 20 \cdot 10^3 \text{ kg} \cdot \text{s}^{-1}$$

$$\eta_v = \omega \eta_7 = 62 \cdot 10^3 \text{ kg} \cdot \text{s}^{-1}$$

Le débit massique de vapeur n'a pas diminué mais au contraire augmenté (η_v : 554 $\rightarrow 62 \cdot 10^3$) alors que le débit massique d'air est quasiment divisé par 2 (η_7 : $34 \cdot 10^3 \rightarrow 20 \cdot 10^3$).

Ce fonctionnement n'est pas recommandé car le refroidissement de l'air rejeté par la tour va faire passer la vapeur d'eau à l'état de liquide ($P_v = P_S$) et donc il va y avoir de la pluie dans le voisinage de la tour.